

BPHL 与 PML-C 间相互作用的胞内、外验证*

初 晨^{1,2}, 刘北忠^{1,2△}, 钟 梁², 吴秀娟², 朱 丹², 吴 燕²

1. 重庆医科大学附属永川医院 中心实验室(永川 402160); 2. 重庆医科大学检验医学院

临床检验诊断学教育部重点实验室(重庆 400016)

【摘要】目的 通过酵母双杂交实验及免疫共沉淀技术验证人联苯样水解酶(BPHL)与缺失核定位信号的人急性早幼粒细胞白血病(PML)基因的 coiled-coil 的结构域(PML-C)蛋白之间的相互作用。**方法** 将表达 PML-C 诱饵蛋白及 BPHL 靶蛋白的重组质粒 pGKKT7-PML-C 及 pACT2-BPHL 共转化 AH109 酵母菌, 通过酵母双杂交实验证两者的相互作用。构建能在人胚肾 293 细胞中表达带 HA 标签的 PML-C 融合蛋白的重组载体 pCMV-HA-PML-C, 经酶切鉴定正确后, 和表达带 myc 标签的 BPHL 融合蛋白的重组真核表达载体 pCMV-myc-BPHL, 共转染人胚肾 293 细胞, 利用免疫共沉淀技术验证 BPHL 与 PML-C 间的相互作用。**结果** pGKKT7-PML-C 及 pACT2-BPHL 质粒共转化 AH109 酵母菌后, 可见蓝色阳性克隆。构建的重组表达载体 pCMV-HA-PML-C 及 pCMV-myc-BPHL 经双酶切鉴定正确后共转染 HEK293 细胞, 抗 HA 多克隆抗体沉淀 HA-PML-C 相互作用蛋白复合物后, 用抗 c-myc 单克隆抗体进行 Western blot 检测, 可以检测到 myc-BPHL 的表达蛋白。**结论** 成功构建了 pCMV-HA-PML-C 及 pCMV-myc-BPHL 融合蛋白真核表达重组载体, 利用酵母双杂交实验及免疫共沉淀技术证实 BPHL 与 PML-C 之间存在着相互作用。

【关键词】 人联苯样水解酶 早幼粒细胞白血病螺旋 coiled-coil 结构域 蛋白质相互作用 酵母双杂交 免疫共沉淀 载体构建

Identification of Interaction Between BPHL and PML-C CHU Chen^{1,2}, LIU Bei-zhong^{1,2△}, ZHONG Liang², WU Xiu-juan², ZHU Dan², WU Yan². 1. Central Laboratory of Yongchuan Hospital, Chongqing Medical University, Chongqing 402160, China; 2. Key Laboratory of Laboratory Medical Diagnostics, Ministry of Education, Chongqing Medical University, Chongqing 400016, China

△ Corresponding author, E-mail: liubeizhong@yahoo.com.cn

【Abstract】Objective To explore the interaction between BPHL and PML-C by co-immunoprecipitation and yeast two-hybrid system. **Methods** The recombination expression plasmids pGKKT7-PML-C and pACT2-BPHL were cotransformed into yeast AH109, to investigate their interaction *in vivo*. The expression vector of HA-tagged fusion protein (pCMV-HA-PML-C) and the expression vector of myc-tagged fusion protein (pCMV-myc-BPHL) were constructed and identified respectively, and cotransfected into human embryo kidney 293 (HEK293) cells. the interaction between PML-C and BPHL was investigated by co-immunoprecipitation *in vitro*. **Results** Blue clones were found in QDO/5-bromo-4-chloro-3-indolyl-α-D-galactoside (X-α-gal) plate, eukaryotic expression vectors named as pCMV-HA-PML-C and pCMV-myc-BPHL were constructed and confirmed with double restriction enzyme digestion and co-transfected into HEK 293 cells successfully. After immunoprecipitation of HA-PML-C with anti-HA polyclonal antibody, expressed myc-BPHL protein was identified by Western blot with anti-c-myc monoclonal antibody from immunoprecipitated complex. **Conclusion** The eukaryotic expression vector of PCMV-HA-PML-C and PCMV-myc-BPHL were constructed successfully. The interaction between PML-C and BPHL was identified by co-immunoprecipitation and yeast two-hybrid technique.

【Key words】 BPHL PML-C Protein-protein interaction Yeast two-hybrid system Co-immunoprecipitation Vector construction

95%以上急性早幼粒细胞白血病患者具有特征性的非随机染色体易位。该易位使 15 号染色体上的早幼粒细胞白血病(PML)基因与 17 号染色体上的维甲酸受体 α(RARα)基因发生融合, 表达 PML-RARα 融合蛋白^[1], PML-RARα 融合基因在急性早幼粒细胞白血病的发生发展中有重要作用。研究表明 PML-RARα 在早期造血细胞的活性依赖于中性

粒细胞弹性蛋白酶(neutrophil elastase, NE)^[2], NE 可将 PML-RARα 融合蛋白切割成 NLS-RARα 和缺失核定位信号的 PML。缺失核定位信号的 PML 中包含了 PML 的螺旋 coiled-coil 结构域, 命名为 PML-C, 本课题组利用特异性引物扩增 PML-C, 并成功构建酵母双杂交诱饵表达载体 pGKKT7-PML-C^[3]。在前期实验中我们利用酵母双杂交系统筛选出 43 个能与 PML-C 结构域相互作用的克隆; 经进一步的归类与酵母回转试验得到 9 个阳性克隆^[4], 人联苯样水解酶(BPHL)是其中的一个阳性克隆。为了探讨 BPHL 的功能以及 BPHL 与缺

* 国家自然科学基金(No. 81171658)和重庆市自然科学基金计划重点项目(No. 20011BA5037)资助

△ 通讯作者, E-mail: liubeizhong@yahoo.com.cn

失核定位信号的 PML 全长相互作用机制,以更好的研究 BPHL 在急性早幼粒细胞白血病发生中的分子机制,我们分别构建了 BPHL 的融合蛋白 Myc-BPHL 和 PML-C 的融合蛋白 HA-PML-C 的表达载体 pCMV-myc-BPHL 和 pCMV-HA-PML-C,共转染 HEK293 细胞后,利用免疫共沉淀验证 BPHL 与 PML-C 间是否存在相互作用。

1 材料和方法

1.1 质粒、菌种及试剂

诱饵质粒 pGBKT7-PML-C 及文库质粒 pACT2-BPHL(本课题组保存)^[4]。pTD1-1(编码 PACT2 中 AD/SV40 大 T 抗原杂合蛋白)购自 Clontech 公司。真核表达载体 pCMV-HA、pCMV-myc,大肠杆菌 DH5 α 。人胚肾 293 细胞(本室冻存);限制性内切酶 *Xho*I、*Sfi*I、*Sal*I、*Eco*RI, T4 连接酶及 DNA marker(TaKaRa 公司);兔抗 HA 多克隆抗体、鼠抗 c-myc 单克隆抗体及蛋白 G/蛋白 A 琼脂糖珠混悬液(Clontech 公司);HRP 标记的山羊抗鼠 IgG(Millorp 公司);HRP 标记山羊抗兔 IgG(H+L)(北京鼎国生物科技公司);胎牛血清、DMEM 培养基(TaKaRa 公司);转染试剂 LipofectamineTM 2000 (Invitrogen 公司);通用蛋白裂解/抽提试剂、PCR 产物纯化试剂盒(TaKaRa 公司);PVDF 膜(Millipore 公司);化学发光试剂盒(Millipore 公司);预染标准蛋白分子量(Fermentas 公司);质粒小抽试剂盒(OMEGAR);胶回收试剂盒(上海华舜)。SD 基础培养液、完全极限培养液、5-溴-4-氯-3-吲哚- α -D-半乳糖苷(X- α -gal, Clontech 公司)。

1.2 方法

1.2.1 酵母双杂交实验 依据 Clontech 公司酵母双杂交操作手册,采用 TE/LiAC 方法制备酵母 AH109 感受态细胞,用聚乙二醇/醋酸锂(PEG/LiAC)法将 pGBKT7-PML-C 及 pACT2-BPHL 共转化至酵母感受态细胞 AH109,铺于 SD/-Ade/-His/-Leu/-Trp 营养缺陷平板(QDO),平板内加有 X- α -gal,30 ℃培养 4 d,观察是否有蓝色的阳性克隆。同时,共转化 pGBKT7-PML-C 与 pTD1-1,作为阴性对照。

1.2.2 重组质粒 pCMV-HA-PML-C 和 pCMV-myc-BPHL 的构建 构建 pCMV-HA-PML-C 重组质粒:根据诱饵质粒 pGBKT7-PML-C 和空载体 pCMV-HA 酶切位点,利用 *Sal*I 和 *Eco*RI 进行双酶切,37 ℃,5 h 水浴后,对酶切产物进行 8 g/L 琼

脂糖凝胶电泳,紫外灯下分别切割含目的片段 PML-C 和空载体 PCMV-HA 的凝胶,用胶回收试剂盒进行回收。T4 DNA 连接酶连接胶回收产物(14 ℃, 16 h),转化至 DH5 α ,接种至含有氨苄青霉素的 LB 固体培养基 37 ℃,过夜,挑取平板上的单菌落,扩增细菌,用质粒小抽试剂盒提取质粒,*Sal*I 和 *Eco*RI 进行双酶切,并用 10 g/L 琼脂糖凝胶电泳酶切产物,酶切鉴定正确后进行测序分析。

构建 pCMV-myc-BPHL 重组质粒:用 *Xho*I 和 *Sfi*I 对文库质粒 pACT2-BPHL 和空载体 pCMV-myc 进行双酶切,酶切产物 BPHL 亚克隆入 pCMV-myc 空载体,酶切鉴定正确后进行测序分析。

1.2.3 人胚肾 293 细胞转染 DMEM 培养基常规培养人胚肾 293 细胞,将细胞传至 6 孔板,待细胞长至 90% 时,共转染 pCMV-HA-PML-C 和 pCMV-myc-BPHL,以 pCMV-HA-PML-C 和 pCMV-myc-BPHL 分别转染为对照。转染步骤:①将 6 孔板培养基换成 1 mL 无血清无双抗的 DMEM 培养基。②将 24 μ g PCMV-HA-PML-C 质粒和 24 μ g PCMV-myc-BPHL 质粒用 50 μ L 无抗生素无血清 DMEM 稀释并混匀后,室温孵育 5 min。③将 48 μ L LipofetamineTM 2000 用 50 μ L 无抗生素无血清 DMEM 稀释并混匀后,室温孵育 5 min。④将②液与③液混合成转染混合液,室温孵育 20 min,加入已经换用 1 mL 无血清无抗生素 DMEM 培养的 6 孔板中,轻拍混匀,常规培养(37 ℃, CO₂)6 h 后,弃原培养基,换用 1.5 mL 含 10% 小牛血清的无抗生素的 DMEM 培养基继续培养。同时另取两瓶长至 90% 的 HEK293 细胞,分别转染 pCMV-HA-PML-C 和 pCMV-myc-BPHL 重组质粒作为对照。

1.2.4 免疫共沉淀 细胞转染 52 h 后,先用胰酶将细胞悬浮,收集细胞于 1.5 mL EP 管中,离心,去除上清液,用预冷的 PBS 清洗细胞 3 次,离心,弃上清;冰上加入 400 μ L 通用蛋白裂解抽提试剂和 4 μ L 蛋白酶抑制剂,每间隔 5 min 吹打几次,30 min 后,4 ℃ 12 000 \times g 离心 40 min,收集上清液,加入 2 μ g 兔抗 HA 多克隆抗体,4 ℃ 振荡混合过夜;加入 20 μ L 蛋白 G/蛋白 A 琼脂糖珠混悬液,4 ℃ 振荡混合 6 h,4 ℃ 12 000 \times g 离心 5 min,弃上清,用通用蛋白裂解液洗涤 2 次;4 ℃ 12 000 \times g 离心,取上清,加入 20 μ L 1×蛋白电泳缓冲液,100 ℃ 煮沸 5 min,待用。

1.2.5 免疫印记分析 120 g/L SDS-PAGE 分离胶 7.5 mL,50 g/L 浓缩胶 3 mL 对样品进行电泳(80 U,

30 min; 100 U, 2 h), 半干转膜仪(15 V, 12 min)转至 PVDF 膜后, 5% 脱脂奶粉室温封闭 6 h, 加入鼠抗 c-myc 单克隆抗体(1:1000 比例稀释), 37 °C 孵育 2 h 后, TBST 洗膜 3 次, 每次 10 min, 加入 HRP 标记的羊抗鼠 IgG 检测一抗, 37 °C 孵育 2 h, TBST 洗膜 3 次, 加化学发光试剂(A 液 200 μL 与 B 液 200 μL 混匀), 于成像仪中显影, 摄像。

2 结果

2.1 酵母双杂交结果

pGBTK7-PML-C 及 pACT2-BPHL 共转化至酵母感受态细胞 AH109 后, 在相应培养基上 30 °C 培养 4 d, 可见蓝色的阳性克隆出现, 而阴性对照未见克隆生长, 表明 BPHL 与 PML-C 在酵母细胞内确实存在相互作用(图 1)。

2.2 重组质粒 pCMV-HA-PML-C 的酶切分析及测序鉴定

用 Sal I /EcoR I 对重组质粒进行双酶切, 10 g/L 琼脂糖凝胶电泳酶切产物可见 700 bp 处预期

大小片段(图 2)。测序结果显示扩增的基因片段与预期完全相符(图 3), 说明载体构建成功。

2.3 重组质粒 pCMV-myc-BPHL 的酶切分析及测序鉴定

用 Sfi I /Xho I 进行双酶切, 电泳酶切产物可见 950 bp 左右预计大小片段(图 4)。测序结果正确(图 5), 表明载体构建成功。

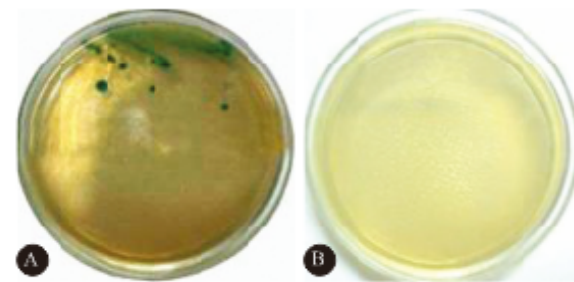


图 1 生长在 QDO 上的阳性克隆(A)与阴性对照(B)

Fig 1 Positive clone (A) and negative control (B) on SD/-Trp/-Leu/-His/-Ade/X- α -gal (QDO)

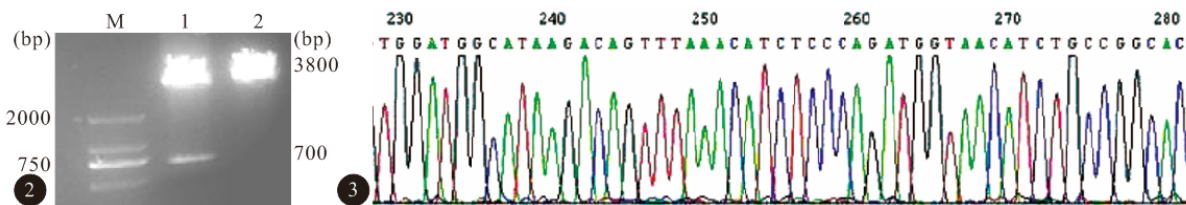


图 2 重组质粒 pCMV-HA-PML-C 的双酶切产物琼脂糖电泳图

Fig 2 The agarose gel electropherogram of PCMV-HA-PML-C digested with Sal I + EcoR I I Fig 3 Sequencing result of pCMV-HA-PML-C (part)

M: Marker; 1: Restriction enzyme analysis of PCMV-HA-PML-C (Sal I + EcoR I); 2: Restriction enzyme analysis of PCMV-HA (Sal I + EcoR I)

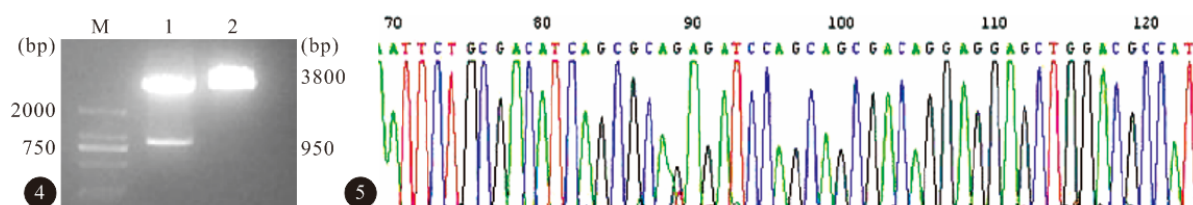


图 4 重组质粒 pCMV-myc-BPHL 的酶切产物琼脂糖电泳图

Fig 4 The agarose gel electropherogram of restriction enzyme analysis of recombination plasmids PCMV-myc-BPHL I Fig 5 Sequencing result of pCMV-myc-BPHL (part)

M: Marker; 1: Restriction enzyme analysis of PCMV-myc-BPHL (Xho I + Sfi I); 2: Restriction enzyme analysis of PCMV-myc (Xho I + Sfi I)

2.4 免疫共沉淀结果

共转染 pCMV-HA-PML-C 和 pCMV-myc-BPHL 及分别转染 pCMV-HA-PML-C、pCMV-myc-BPHL 的细胞培养 52 h 后提取蛋白, 用抗 HA 标签抗体免疫沉淀后, 用鼠抗 c-myc 单克隆抗体和

羊抗鼠抗体孵育, 经蛋白免疫印迹技术检测相对分子质量大约为 30×10^3 的 pCMV-myc-BPHL 表达融合蛋白, 与预期大小一致; 而单独转染 pCMV-HA-PML-C 或 pCMV-myc-BPHL 未检测到融合蛋白表达(图 6)。实验重复 3 次, 结果一致, 说明

PML-C与BPHL间存在相互作用。

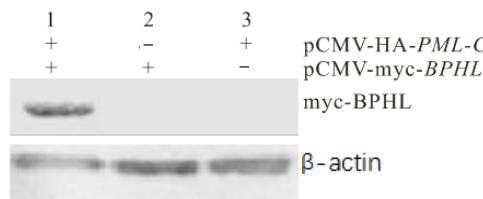


图6 免疫共沉淀结果

Fig 6 Interaction between PML-C and BPHL via co-immunoprecipitation

3 讨论

PML-RAR α 融合基因对急性早幼粒细胞白血病的发生发展具有重要的作用,其产物*PML-RAR α* 融合蛋白影响野生型*RAR α* 和*PML*的结构和功能^[5,6],另外,它也能通过降低生长因子对正常血细胞生成的有效性,从而促进慢性髓细胞性白血病的克隆优势^[2]。在前期实验中我们利用酵母双杂交系统筛选出43个能与*PML-C*结构域相互作用的克隆;经进一步的归类与酵母回转试验得到9个阳性克隆^[4],本实验挑取其中的一个阳性克隆BPHL,利用酵母双杂交实验及免疫共沉淀技术验证其与*PML-C*间存在相互作用。

BPHL是人类的一种新的丝氨酸水解酶,相对分子质量大约为 30×10^3 ,与能够分解多氯联苯化合物的原核生物酶有一系列的相似性。其mRNA含有8个外显子和7个内含子,能编码人类联苯水解酶相关的蛋白,催化抗病毒药物伐昔洛韦和缬更昔洛韦的水解活化^[7,8]。Kim等^[9]实验证明BPHL对氨基酸酯类前体药物的设计具有重要作用。BPHL具有丝氨酸水解酶的特点,即具有特有的氨基酸酯结合方式,可以水解很多底物,其活性中心含有丝氨酸残基,属于丝氨酸依赖水解酶,是一种重要的 α 氨基酸酯水解酶^[10,11],可以断裂大分子蛋白质中的肽键,使之成为小分子,在哺乳动物中扮演重要的角色,特别是在消化、凝血及补体系统方面。

另外,有研究发现*PML*基因能够编码生长和转化抑制因子,其过表达可以抑制肿瘤生长^[12,13]。急性早幼粒细胞白血病中的*PML*及*PML*核小体(*PML-NBs*)已经被破坏。*PML-NBs*是一种多蛋白复合体,当受到病毒感染时,该核体的大小、形态和数量发生改变,而肿瘤抑制因子p53是细胞先天性免疫防御系统中的重要调节因子,其被募集到*PML-NBs*发挥特定功能^[14,15]。BPHL作为一种新

发现的丝氨酸水解酶,催化抗病毒前体药物的水解活化,由此我们推断BPHL可能与*PML*相互作用,影响*PML*蛋白及*PML*核小体的功能,另一方面也可能影响肿瘤抑制因子p53的功能,抑制急性早幼粒细胞白血病细胞的凋亡。本实验经过进一步验证证明BPHL与*PML*的卷曲螺旋结构域*PML-C*间存在相互作用,为我们下一步研究BPHL与*PML*全长是否具有相互作用及BPHL在急性早幼粒细胞白血病的作用机制提供依据,为进一步研究急性早幼粒细胞白血病发病机制奠定基础。

参 考 文 献

- De The H, Chomienne C, Lanotte M, et al. The t(15; 17) translocation of acute promyelocytic leukemia fuses the retinoic acid receptor α gene to a novel transcriptional focus. *Nature*, 1990;347(6293):558-561.
- Lane AA, Ley TJ. Neutrophil elastase is important for PML-retinoic acid receptor activities in early myeloid cells. *Mol Cell Biol*, 2005;25(1):23-33.
- 王翀, 刘北忠, 金丹婷等. 早幼粒细胞白血病基因结构域诱饵载体的构建及鉴定. *医学分子生物学杂志*, 2009;6(2):101-105.
- 朱丹, 王翀, 刘北忠等. 酵母双杂交技术筛选并回转验证在胞内与*PML-C*结构域相互作用的蛋白. *医学分子生物学杂志*, 2010;7(3):1672-8009.
- Melnick A, Lich JD. Deconstructing a disease: RAR α its fusion partners, and their roles in the pathogenesis of acute promyelocytic leukemia. *Blood*, 1999;93(10):3167-3215.
- Pollock JL, Westervelt P, Walter MJ, et al. Mouse model of acute promyelocytic leukemia. *Curr Opin Hematol*, 2001;8(4):206-211.
- Kim I, Song X, Viq BS, et al. A novel nucleoside prodrug-activating enzyme: substrate rate specificity of biphenyl hydrolase-like protein. *Mol Pharm*, 2004;1(2):117-122.
- Puente XS, Pendás AM, López-otín C. Structural characterization and chromosomal localization of the gene encoding human biphenyl hydrolase-related protein (BPHL). *Genomics*, 1998;51(3):459-462.
- Kim I, Chu XY, Kim S, et al. Identification of a human valacyclovir-ase biphenyl hydrolase-like protein as valacyclovir hydrolase. *J Biol Chem*, 2003;27(8):25348-25356.
- Puente XS, Lopez-otín C. Cloning and expression analysis of a novel human serine hydrolase with sequence similarity to prokaryotic enzymes involved in the degradation of aromatic compounds. *J Biol Chem*, 1995;270(21):12926-12932.
- Lai LS, Xu ZH, Zhou JH, et al. Molecular basis of prodrug activation by human valacyclovir-ase, an α -Amino acid ester hydrolase. *J Biol Chem*, 2008;28(3):9318-9327.
- Salomon P, Bellodi C. New insights into the cytoplasmic function of *PML*. *Histo Histopathol*, 2007;22(8):937-946.
- He D, Mu ZM, Le X, et al. Adenovirus-mediated expression of *PML* suppresses growth and tumorigenicity of prostate cancer cells. *Cancer Res*, 1997;57(17):1868-1852.
- Sarkari F, Wang X, Nguyen T, et al. The herpesvirus associated ubiquitin specific protease, USP7, is an negative regulator of *PML* proteins and *PML* nuclear bodies. *PLoS One*, 2011;6(1):16598-16603.
- 李向东, 沈阳, 邱亚峰等. *PML-NBs*参与干扰素介导的细胞先天性免疫抗病毒反应. *中国预防兽医学报*, 2009;31(6):107-122.

(2012-06-19收稿, 2012-09-14修回)

编辑 沈进